

# МУЛЬТИПЕРИФЕРНСКАЯ МОДЕЛЬ ВЗАИМОДЕЙСТВИЯ $\rho$ -МЕЗОНов

*E. M. Левин, M. Г. Рыскин*

В настоящее время появились основания считать, что главный вклад в сечение взаимодействия адронов при высоких энергиях дают процессы "лестничного" типа, [1] рис. 1; характерная кинематика которых состоит в том, что все рождающиеся частицы имеют малые поперечные импульсы, а их продольные импульсы упорядочены, так что импульс каждой следующей частицы в несколько раз больше импульса предыдущей. При этом парные энергии соседних адронов невелики и можно вычислить сечение рассеяния частиц при высоких энергиях, зная амплитуды взаимодействия при низких энергиях.

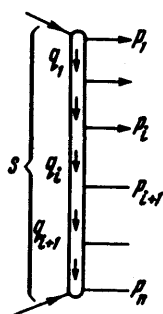


Рис. 1

К сожалению, если строить лестницу, в которой обмен осуществляется частицами со спином 0 ( $\rho$ -мезон), то, при экспериментальных значениях константы связи, такая модель дает сечение падающее как  $S^{-0.7}$  [2], а если константу связи увеличить настолько, чтобы полное сечение  $\sigma_{tot}$  стало постоянным, то сечение  $\pi\pi$ -рассеяния при малых энергиях становится выше унитарного предела, а  $\sigma_{tot}$  оказывается слишком большим

$$\sigma \sim \frac{16\pi^3}{Nm^2} \sim 300 \text{ мв} \quad (\text{при } m = m_\rho) \quad (1)$$

здесь  $m$  — масса излучаемой частицы,  $N$  — размерность изотопического мультиплета.

В этой работе мы покажем, что ситуация значительно улучшается, если учсть разумную зависимость амплитуды рождения " $n$ " частиц от парных энергий  $S_{ik} = (p_i + p_{i+1} + \dots + p_k)^2$ . Действительно: пусть существует только один сорт частиц (например  $\rho$ -мезон) и матричный элемент имеет вид

$$M_n = g^2 \prod_{i=1}^{n-1} \frac{g^2}{q_i^2 - m^2} \left( \frac{S_{in}}{S_{i+1,n}} \right)^{1/2}. \quad (2)$$

(Для последней ( $n - 1$ )-й ступеньки рис. 1 пишем просто  $(S_{n-1,n})^{1/2}$ , т. е.  $S_{nn}$  полагается равным  $1/\Gamma_{\text{eff}}^2$ ). Такая формула (2) соответствует обмену "стоячим" реджевованным  $\rho$ -мезоном, т. е. его траектория  $a(t) = a(0) = 1/2$ . Графики рис. 1 с матричным элементом (2) легко просуммировать с помощью уравнения типа Амати, Фубини, Стангелини [4] (AFS) рис. 2. Тогда для мнимой части амплитуды рассеяния вперед  $A(S, q^2)$  в изотопическом спине 0  $t$ -канала получим

$$A(S, q^2) = \pi g^2 \delta(s - m^2) + \frac{g^2}{16\pi^2} \int_{S_{\max}}^{\infty} \frac{dS'}{S} \left( \frac{S}{S'} \right) \frac{d|q'^2| A(S', q'^2)}{(q'^2 - m^2)^2}, \quad (3)$$

где

$$S'_{\max} = \frac{S}{2|q^2|} \left( (m^2 - q^2 - q'^2) - \sqrt{(m^2 - q^2 - q'^2)^2 - 4q^2 q'^2} \right) \quad (4)$$

$$S' = (q' + p)^2; \quad S = (q + p)^2.$$

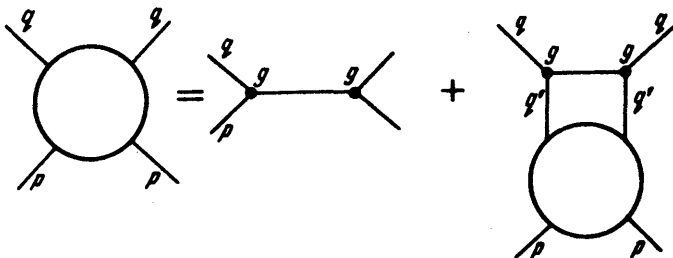


Рис. 2

От исходного уравнения AFS выражение (3) отличается множителем  $S/S'$  в правой части. Поведение амплитуды при высоких энергиях определяется однородным уравнением (5)

$$A(S, q^2) = \frac{g^2}{16\pi^2} \int_{S_{\max}}^{\infty} \frac{dS'}{S} \left( \frac{S}{S'} \right) \frac{d|q'^2| A(S', q'^2)}{(q'^2 - m^2)^2}, \quad (5)$$

где роль эффективной константы связи  $\tilde{g}^2$  играет величина  $g^2(S/S')$ . Чтобы оценить значение  $S/S'$  положим  $q^2 \sim q'^2 \sim -m^2$ . Тогда из (4) видно, что  $S/S'_{\max} \sim 3$ ; и так как  $S'$  меняется от  $m^2$  до  $S'_{\max}$  то среднее значение  $\langle S/S' \rangle \sim 5$ . Таким образом мы имеем выигрыш в 5 раз ( $\tilde{g}^2 \sim 5g^2$ ) и можем получить постоянное полное сечение при сравнительно малой константе  $g^2$ . Величина же полного сечения определяется неоднородным уравнением (3) и пропорциональна  $g^2$ , а не  $\tilde{g}^2 = g^2(S/S')$ . Поэтому в нашей параметризации (2), должно получиться постоянное сечение небольшой величины (так как  $g^2$  — мала). Уравнение (5) решалось численно. При  $S \rightarrow \infty$  мы искали решение в виде  $A(S, q^2) = S\sigma(q^2)$ , что соответствует постоянному сечению, и определяли наименьшее собственное значение  $g^2$ , а затем находили величину  $\sigma(q^2)$ , тем же способом, что в работе [4].

Положив  $m^2 = m_\rho^2$ , получаем  $g^2 = 16\pi \cdot 6,2 \text{ Гэв}^2$ ,  $\sigma(0) = 55 \text{ мв}$ , среднее число  $\rho$ -мезонов  $N_\rho = 0,5 \ln S$ . Перпендикулярные импульсы  $\pi$ -мезонов, образующихся при распаде  $\rho$ , будут в этой модели порядка  $(1/2)m_\rho$ , а среднее число  $\pi$ -мезонов  $N_\pi = 1 \cdot \ln S$ . При  $a(t) = 0$  (т. е.  $\rho$ -мезон со спином 0) уравнение (3) заменилось бы на обычное уравнение AFS [4], и мы бы имели  $g^2 = 16\pi \cdot 29 \text{ Гэв}^2$ ,  $\sigma(0) = 230 \text{ мв}$   $N_\pi = 1,6 \ln S$ . Если для  $\rho\rho$ -четыреххвостки написать формулу типа Венециано [5]

$$B(S, t) = \frac{\Gamma(1 - a(S))\Gamma(1 - a(t))}{\Gamma(1 - a(S) - a(t))},$$

то полученная величина  $g^2 = 16\pi \cdot 6,2 \text{ Гэв}^2$  соответствует довольно большому сечению  $\rho\rho$ -рассеяния при малых энергиях ( $\sim 40 \text{ мв}$  при  $S \sim 3 \text{ Гэв}^2$ ), нигде, однако, не превышающему унитарного предела. Полосной график, изображающий неоднородный член уравнения (3) рис. 2, при нашем  $g^2$  дает в физической области ( $S > 4m_\rho^2$ ) сечение  $\sigma_{\Pi}$  меньшее унитарного предела  $S$  волны  $\sigma_S \left(\frac{\sigma_{\Pi}}{\sigma_S}\right)_{max} = 0,65$ ; при  $S = 3,3 \text{ Гэв}^2$

$$\sigma_{\Pi} = 13 \text{ мв}; \sigma_S = 20 \text{ мв}.$$

Таким образом мы показали, что даже в такой упрощенной модели, правдоподобная зависимость амплитуды от парных энергий  $S_{ik}$  приводит, при не слишком большой константе связи, к постоянному сечению разумной величины, а распад резонансов на  $\pi$ -мезоны, позволяет при этом получить множественность  $N_\pi$  и перпендикулярные импульсы близкие к экспериментальным [6, 7]. В более реалистической ситуации существенные  $q^2$  могут отличаться от  $m_\rho^2$ . Чтобы показать зависимость решения от  $m^2$ , приведем результат при  $m^2 = 0,1 \text{ Гэв}^2$

$$g^2 = 16\pi \cdot 1,1 \text{ Гэв}^2; \sigma(0) = 50 \text{ мв}; N_\pi = 11 \ln S.$$

Подробное описание модели, учитывающей зависимость матричного элемента от парных энергий, а также наличие различных частиц ( $\pi, \rho, \omega, A_2^f$ ) [3] и их квантовые числа будет опубликовано в дальнейшем. Например, включение  $f$ -мезона уменьшает  $g^2$  и полное сечение почти вдвое ( $g^2 = 16\pi \cdot 2,9 \text{ Гэв}^2$ ;  $\sigma = 32 \text{ мв}$ ;  $N_\pi = 0,94 \ln S$ )

Авторы благодарят В.Н.Грибова за полезные обсуждения.

Ленинградский  
институт ядерной физики

Поступила в редакцию  
14 апреля 1972 г.

### Литература

- [1] В.И.Грибов. ЯФ, 9, 640, 1969; К.А.Тер-Мартиросян. Nucl. Phys., 68, 591, 1965.
- [2] Don. N. Tow. Phys. Rev., D2, 154, 1970.
- [3] H.D.I.Abarbanel, G.F.Cheung, M.L.Goldberger, L.M.Saunders. Phys. Rev. Lett., 25, 1735, 1970.
- [4] D.Amati, A.Stanghellini, S.Fubini. Nuovo Cim., 26, 896, 1962.

- [5] G.Lovelace. Phys. Lett., 28B, 264, 1968; G.Veneziano. Nuovo Cim., 57A, 190, 1968.
  - [6] L.M.Jones et al. Phys. Rev. Lett., 25, 1679, 1970.
  - [7] L.G.Rather et al . Phys. Rev. Lett., 27, 68, 1971.
-